



بررسی ارتباط خواص مکانیکی و فصل مشترک در جوشکاری غیر مشابه آلومینیم و منیزیم به روش اصطکاکی همزنی

محمد حسن زمانی^۱, مهدی دیواندری^{۲*}, مرتضی تمیزی فر^۲

۱- دانشجوی دکترا، مهندسی مواد، دانشگاه علم و صنعت ایران، ایران

۲- دانشیار، مهندسی مواد، دانشگاه علم و صنعت ایران، ایران

*هران، کدپستی ۱۶۷۴۶۱۳۱۱۴

چکیده

با افزایش کاربرد فلزات سبک منیزیم و آلومینیم در صنایع حمل و نقل، اتصال آن‌ها به یکدیگر، به یکی از جالش‌های محققین و مهندسین تبدیل شده است. هدف از این تحقیق، بررسی ارتباط خواص مکانیکی اتصالات جوشکاری اصطکاکی همزنی آلومینیم و منیزیم با خواص فصل مشترک آن‌ها در طرح اتصال لبه روی هم است. به همین منظور، اتصال آلومینیم و منیزیم در حالات مختلف قرارگیری آلومینیم-رو یا منیزیم-رو و همچنین پیشوای پرسرو یا پرسرو بوند لبه اتصال انجام شد. بررسی‌های میکروسکوپ نوری و الکترونی روشنی و همچنین آزمون‌های ریز سختی سنجی و آزمون کشش-برش بر روی اتصالات انجام گرفت. نتایج نشان داد در فصل مشترک اتصالات منیزیم-رو، لایه‌های با خصامت تقریبی ۱۰ میکرومتر و با ساختار انجام‌دادهای ایجاد می‌گردد. نتایج نشان داد با قرار دادن ورق منیزیم به عنوان ورق رویی می‌توان استحکام اتصال را افزایش داد. تغییرات سختی در فصل مشترک اتصالات منیزیم-رو نوسان بیشتری نسبت به اتصالات آلومینیم-رو از خود نشان داد. بررسی‌های ریزساختاری نیز حاکی از آن بود که در اتصالات منیزیم-رو، مکانیزم تشکیل ترکیبات بین فلزی براساس نفوذ در حالت جامد است در صورتی که در اتصالات آلومینیم-رو، علاوه بر نفوذ در حالت جامد، تشکیل مذاب یوتکتیک و انجام دنیز بر مکانیزم تشکیل ترکیبات بین فلزی اثربخش است.

اطلاعات مقاله

مقاله پژوهشی کامل

دریافت: ۱۰ آبان ۱۳۹۴

پذیرش: ۰۴ بهمن ۱۳۹۴

ارائه در سایت: ۲۵ بهمن ۱۳۹۴

کلید واژگان:

جوشکاری اصطکاکی همزنی

ترکیبات بین فلزی

خواص مکانیکی

آلومینیم

منیزیم

Investigation of relationship between mechanical and interface properties in dissimilar welding of aluminum and magnesium by friction stir welding

Mohammad Hasan Zamani, Mehdi Divandari*, Morteza Tamizifar

Department of Materials Engineering, Iran University of science and Technology, Tehran, Iran
*P.O.B. 1674613114, Tehran, Iran, divandari@iust.ac.ir

ARTICLE INFORMATION

Original Research Paper

Received 01 December 2015

Accepted 24 January 2016

Available Online 14 February 2016

Keywords:

Friction Stir Welding (FSW)

Intermetallic compounds

mechanical properties

aluminum

magnesium

ABSTRACT

Increasing usage of magnesium and aluminum light metals in the transportation industry has made joining of these two metals one of the challenges for researchers and engineers. The aim of this study was to investigate the relationship between mechanical properties of lap friction stir welded Al-Mg plates and characteristics of the interface. Therefore, joining of aluminum and magnesium in various conditions was conducted. Optical and scanning electron microscopy analysis, micro-hardness test and tensile tests were performed on samples. The results showed that in the joints where Mg was on top, an approximately 10 micron thick layer of intermetallic compounds is created, while in the Al-top joints, approximately 1 mm thick intermetallic compounds with solidified microstructure were visible. Mechanical test showed Mg-top joint has higher strength in comparison with Al-top joint. On the other hand, hardness test of Mg-top joint showed more fluctuation than Al-top joint. Microstructural investigation also showed that in the Mg-top joint, formation mechanism of intermetallic compounds has occurred in solid state while in the Al-top joint, in addition to diffusion in solid state, eutectic formation in the molten state and solidification has occurred.

فرآیندهای نوبن و سیار مناسب در اتصال فلزات غیر هم جنس به شمار می-

روند.

روش‌های مختلفی برای ایجاد اتصالات آلومینیم و منیزیم قابل انجام است ولی روش‌های اتصال ذوبی، استحکام سیار پایین دارند که علت آن به تشکیل ترکیبات بین فلزی به صورت لایه‌های ضخیم و پیوسته در فصل مشترک مرتبط است [۵-۲]. به همین دلیل روش‌های ذوبی برای اتصال ورق‌های غیر هم جنس آلومینیم و منیزیم متداول و مناسب نیست. با توجه

۱- مقدمه

در سال‌های اخیر استفاده از فلزات سبک آلومینیم و منیزیم به علت چگالی کم در ساخت وسایل حمل و نقل مانند هواپیما، کشتی و خودرو به شدت افزایش یافته است و به همین دلیل کاربرد آن‌ها در کنار یکدیگر، نیاز به اتصال غیر هم جنس آن‌ها را بوجود آورده است [۱]. فرایند جوشکاری اصطکاکی همزنی^۱ که به اختصار در این مقاله فرآیند "جاه" نامگذاری می‌شود، یکی از

۱- Friction stir welding (FSW)

برای ارجاع به این مقاله از عبارت ذیل استفاده نمایید:

M. H. Zamani, M. Divandari, M. Tamizifar, Investigation of relationship between mechanical and interface properties in dissimilar welding of aluminum and magnesium by friction stir welding, *Modares Mechanical Engineering*, Vol. 16, No. 2, pp. 206-214, 2016 (in Persian)

جدول 1 ترکیب شیمیایی ورق منیزیم استفاده شده در فرآیند جوشکاری

Table 1 Chemical composition of magnesium sheet used in the welding process

Mg	Zn	Fe	Si	Al	عناصر	جدول
0.053	0.012	0.335	0.073		درصد باقیمانده	2

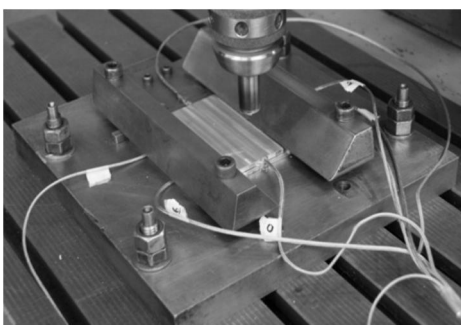
ترکیب شیمیایی ورق آلومینیم استفاده شده در فرآیند جوشکاری

Table 2 Chemical composition of Aluminum sheet used in the welding process

Mn	Fe	Cu	Al	Mg	عناصر	جدول
0.033	0.012	0.018	0.056		درصد باقیمانده	2

جهت جوشکاری طوری تنظیم شد که لبه ورق بالایی یکبار به عنوان جهت پیشرو و یکبار به عنوان جهت پسرو قرار بگیرد. فرآیندهای جوشکاری اتصالات غیرهمجنس منیزیم و آلومینیوم با سرعت چرخشی 1600 دور بر دقیقه و سرعت پیشروی 40 میلیمتر بر دقیقه انجام شد. نوع ورق بالایی که با شانه ابزار در تماس است نیز به عنوان متغیر جوشکاری در نظر گرفته شد. در شکل‌های 1 و 2 تصاویر نحوه قرارگیری ورق‌ها در نگهدارنده و ابزار مورد استفاده نشان داده شده است.

یکی از متغیرهای مهم و قابل مقایسه که تاثیر پسرو-لبه² یا پیشرو-لبه³ است، به صورت طرح کلی در شکل (3) نشان داده است. شرایط جوشکاری در شکل (الف) معرف حالت پسرو-لبه است. در این حالت جهت چرخش ابزار ساعتگرد بوده که باعث می‌شود پیشرو در سمت چپ و پسرو در سمت راست محور عمودی جوش قرار گیرد و چون پسرو به لبه‌ی ورق بالایی

**Fig. 1** Clamping fixture used for welding

شکل 1 نگهدارنده استفاده شده برای عملیات جوشکاری

**Fig. 2** The FSW tool used for all the welding processes

شکل 2 ابزار مورد استفاده در پژوهش حاضر

2- Retreading Side (AS)
3- Advancing Side (RS)

به تحقیقات و گزارشات منتشر شده اتصال آلومینیم به منیزیم از طریق فرآیند جاه برای اولین بار توسط مک لین در سال 2003 گزارش شده است [6] و محققان دیگری اتصال بین آلیاژهای مختلف آلومینیم و منیزیم از طریق فرآیند جاه را مورد بررسی قرار دادند. نتایج تحقیقات انجام شده نشان می‌دهد که تشکیل ترکیبات بین فلزی ترد در فصل مشترک اتصال Al/Mg بر استحکام و انعطاف پذیری اتصال اثر منفی دارد [7]. به همین دلیل با روش‌های دیگری این کاهش خواص مکانیکی اتصال را جبران می‌کنند که از آن جمله می‌توان به کنترل ترکیب شیمیایی، افزایش اتصال مکانیکی بین دو فلز و استفاده از لایه‌های میانی اشاره کرد [8].

در تحقیقی که توسط فیروزدر و کو [9] انجام گرفت اثر موقعیت و محل قرار گیری ورق‌های منیزیم و آلومینیم سنت به هم، بر استحکام اتصال غیر مشابه جاه بررسی گردید. نتایج حاکی از این امر بود که در حالتی که آلومینیم در سمت پیش رونده بوده است نسبت به حالتی که در سمت پس رونده است، حرارت کمتری ایجاد شده است و اتصال به علت تشکیل کمتر ترکیبات بین فلزی دارای استحکام بیشتر است در صورتی که زتلر و همکاران [10] استحکام بیشتر اتصال در حالتی که منیزیم در سمت پیش رونده قرار می‌گیرد را گزارش نموده اند. محققانی همچون مک لین و همکاران [6]، یان و همکاران [11] و فیروزدر و کو [9] گزارش نموده اند که قرارگیری بیشتر پین در آلیاژ منیزیم، باعث ایجاد اتصال با استحکام بالاتر می‌شود.

استحکام اتصال برای اتصالات لبه روی هم فلزات غیر مشابه، به حد زیادی وابسته به طرح ابزار است که اثر بسیار مهمی بر فصل مشترک، شکل ناحیه اختلاط، فازها و ریزساختارهای ایجاد شده دارد. در مورد جوشکاری لبه روی هم اصطکاکی همزنی¹، اتصالات غیرمشابه آلومینیم-منیزیم، تحقیقات کمتری نسبت به طرح اتصال لبه روی هم فلزات شده است. فیروزدر و کو [9] تشکیل ذوب جزیی در حین فرآیند جاه آلیاژهای آلومینیم 6061 و منیزیم AZ31 با ضخامت‌های 1.6 میلیمتر را گزارش نموده اند که این پدیده ذوب جزیی باعث تشکیل ترکیبات بین فلزی ضخیم تا ضخامت بین 0.5 و 1 میلیمتر و همچنین ترک خودگرگی گرم (ترک انجامدادی) می‌گردد. در تحقیق آن‌ها از ابزار با پین استوانه‌ای رزوه دار استفاده شده است.

تشکیل ترکیبات بین فلزی در اتصالات غیر هم جنس آلومینیوم و منیزیم [12،13] و همچنین در اتصالات غیر هم جنس دیگری مانند آلومینیوم و فولاد [14] نیز گزارش شده است که اغلب مکانیزم‌های حالت جامد برای تشکیل آن‌ها ازایده شده است.

در این تحقیق، اتصالات جاه آلومینیم و منیزیم با طرح اتصال لبه روی هم، مورد بررسی قرار گرفته است. نوع ورق بالایی و همچنین پیشرو یا پسرو بودن لبه ورق بالایی به عنوان متغیرهای جوشکاری در نظر گرفته شده است.

2- مواد و روش‌های آزمایش

در این تحقیق ورق‌های آلومینیم خالص و منیزیم خالص مورد استفاده قرار گرفته است. ورق آلومینیوم خالص و منیزیم خالص با بعاد $100 \times 65 \times 3$ میلیمتر مورد استفاده قرار گرفت. ترکیب شیمیایی دو فلز مورد استفاده، در جدول 1 و جدول 2 آمده است.

تنظیم و یکسان‌سازی نیروی عمودی جوشکاری، با اندازه‌گیری میزان فروبری شانه ابزار درون ورق فوکانی، انجام شد. میزان فروبری برای همه نمونه‌های اتصال همچنین 0.1 میلیمتر در نظر گرفته شد. زاویه انحراف ابزار برای همه آزمایشات، 3.5 درجه تعیین گردید و جهت چرخش ابزار به همراه

1- Friction Stir Lap Welding

برای آزمایش کشش، از دستگاه کشش ساخت شرکت گالدابینی¹⁴ مدل کواسار 600¹⁵ با سرعت کشش 1 میلی‌متر بر دقیقه استفاده شد و برای هر نمونه میانگین سه آزمون کشش ارایه گردیده است.

3-نتایج و بحث

3-1- بررسی سطح مقطع جوش‌ها

در شکل (4) تصویر درشت ساختار سطح مقطع اتصالات در دو حالت منیزیم-رو و آلومینیم-رو نشان داده شده است. همانگونه که مشخص است در حالات منیزیم-رو در سمت پیشرو، رگه‌های آلومینیم از ناحیه زیر پین به سمت بالا کشیده شده است ولی تا زیر ناحیه شانه ابزار نمی‌رسد ولی در حالات آلومینیم-رو، کشیدگی رگه‌های منیزیم تا ناحیه زیر شانه ابزار اتفاق می‌افتد. نکته دیگر لایه‌های در هم تنیده آلومینیم و منیزیم در ناحیه اتصال است که دارای رنگ متفاوتی نسبت به آلومینیم و منیزیم بوده که با توجه به تحقیقات قبلی انجام شده، نشان دهنده ساختار لایه لایه ای و ترکیبات بین فلزی Al-Mg در فصل مشترک آن‌هاست. همانگونه که در شکل 4 مشخص است در اتصالات منیزیم-رو (شکل 4 (الف) و (ب)) ناحیه اختلاط وسیع است در حالی که در اتصالات آلومینیم-رو (شکل 4 (ج) و (د)) ناحیه اتصال وسعت کمتری دارد و متراکم‌تر است.

3-2- بررسی ریزساختار و فازهای فصل مشترک اتصالات در شکل‌های 5 و 6 تصاویر میکروسکوپ نوری از فصل مشترک اتصال

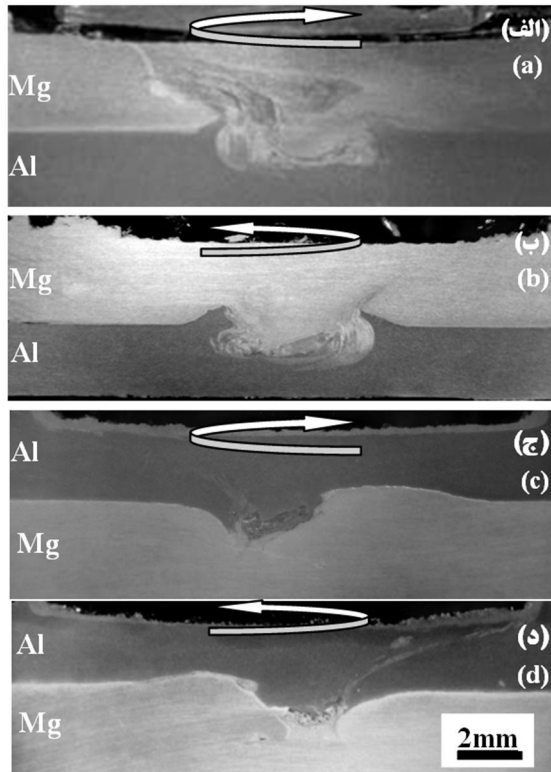


Fig. 4 Macrostructure of sections from different joints of (a) Mg top-Retreading edge (b) Mg top-Advancing edge (c) Al top-Retreading edge (d) Al top-Advancing edge

شکل 4 تصاویر درشت ساختار از مقطع اتصالات (الف) منیزیم-رو- پسرو-لبه، (ب) منیزیم-رو- پیشرو-لبه، (ج) آلومینیوم رو- پسرو-لبه و (د) آلومینیوم رو- پیشرو-لبه

14- Galdabini
15- Quasar 600

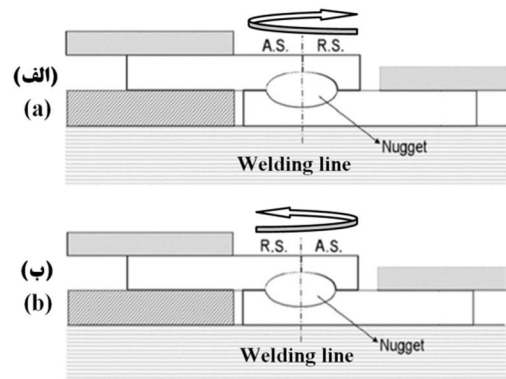


Fig. 3 Different configuration of welding according to tool rotation direction (a) Retreading edge (b) Advancing edge

شکل 3 دو حالت مختلف جوشکاری با توجه به جهت چرخش ابزار (الف) پسرو-لبه، (ب) پیشرو-لبه

نzedیک‌تر است به این حالت پسرو-لبه گفته می‌شود. در شکل 6 تصاویر میکروسکوپ نوری از نواحی مختلف فصل مشترک اتصال آلومینیم-رو و قرائیری لبه اتصال در سمت پسرو نشان داده شده است.

پس از هر عملیات جوشکاری، به منظور بررسی ریز ساختار، از مقطع عمود بر ناحیه اختلاط، نمونه‌های متالوگرافی از سه ناحیه جوش تهیه شدند. نمونه‌های متالوگرافی پس از آماده سازی بوسیله‌ی سنباده زنی و پولیش در سه مرحله حکاکی شدند. مرحله اول، حکاکی نمونه‌ها با محلولی شامل 10 میلی لیتر اسیک اسید، 10 میلی لیتر آب مقطر و 6 گرم اسید پیکریک در 100 میلی لیتر اتانول به مدت 10 ثانیه به منظور آشکار سازی منیزیم استفاده شد. مرحله دوم، حکاکی نمونه‌ها با محلولی شامل 20 گرم NaOH در 100 میلی لیتر آب مقطر به مدت 40 ثانیه به منظور آشکار سازی ساختار دانه‌های آلومینیم استفاده شد. مرحله نهایی، حکاکی نمونه‌ها با محلولی شامل 25 گرم KMnO₄ و 2 گرم NaOH در 100 میلی لیتر آب مقطر به مدت 25 ثانیه به منظور رنگی کردن Al, Mg₂Al₁₇ و Al₃Mg₁₇ به رنگ‌های مختلف استفاده شد [9,10]. از میکروسکوپ استرورگراف ساخت شرکت صایران برای بررسی درشت ساختار¹ و از میکروسکوپ نوری ساخت شرکت یونیون² مدل ورسامت³ برای بررسی ریزساختار تا بزرگنمایی 1000 استفاده شد. از میکروسکوپ الکترونی روبشی⁴ با طیف سنجی تفکیک انرژی⁵ ساخت شرکت تی اسکن⁶ مدل وگا⁷ با 30KV برای اندازه گیری ترکیب شیمیابی استفاده شد. از دستگاه پراش پرتو ایکس⁸ ساخت شرکت جئول⁹ مدل جی دی ایکس¹⁰-8030 نیز برای شناسایی ترکیبات بین فلزی¹¹ استفاده شد. در این تحقیق اندازه گیری میکروسختی در ناحیه اتصال با استفاده از دستگاه سختی سنجی ساخت شرکت باریس¹² مدل وی- تست¹³ با دقت یک ویکرز انجام شد.

- 1- Macrostructure
- 2- UNION
- 3- VERSAMET-3
- 4- SEM
- 5- EDS
- 6- TESCAN
- 7- VEGA
- 8- XRD
- 9- JEOL
- 10- JDX-8030
- 11- IMC
- 12- Bareiss
- 13- V-test

در شکل 7 و 8، نتایج کیفی آنالیز تفکیک انرژی از ناحیه اتصال منیزیم رو و آلمینیم-رو، نشان داده شده است. در اتصال منیزیم رو (شکل 7) لایه ای از آلمینیم که در منیزیم کشیده شده است، مشخص گردیده است. همانطور که مشخص است بین لایه آلمینیم و زمینه منیزیم دو لایه مشخص است که ترکیب تقریبی آن‌ها توسط آنالیز تفکیک انرژی مشخص شده است. لایه سمت منیزیم غنی از منیزیم (63.17 درصد منیزیم) و لایه سمت آلمینیم، غنی از آلمینیم (62.71 درصد آلمینیم) است که با تطبیق بر دیاگرام فازی آلمینیم-منیزیم، نتایج حاصل از آزمون تفرق اشعه X و تحقیقات دیگر محققین نشان دهنده فازهای $\text{Al}_{12}\text{Mg}_{17}$ و Al_3Mg_2 است [13]. ضخامت کم و گردانی بودن غلظت آلمینیم و منیزیم نشان دهنده تشکیل شدن این فازها به صورت نفوذ در حالت جامد و در دمای بالای حاصل از فرآیند جاه است.

نتایج آنالیز تقریبی تفکیک انرژی نشان می‌دهد که فاز شبه مدور با رنگ روشن (شکل 8 (1))، ترکیب شیمیایی با 61.48 درصد وزنی منیزیم و 38.52 درصد وزنی آلمینیم دارد. با توجه به دیاگرام فازی آلمینیم-منیزیم، این فاز دارای ترکیب شیمیایی نزدیک فاز $\text{Al}_{12}\text{Mg}_{17}$ (فاز ۷) است که به صورت فاز اولیه در انجاماد ایجاد می‌گردد. آنالیز تفکیک انرژی ناحیه فاز زمینه با ساختار لایه ای (شکل 5 (ج)) نیز نشان می‌دهد که این ساختار دارای ترکیب شیمیایی 67.61 درصد منیزیم است که به ترکیب شیمیایی ساختار یوتکنیک سمت منیزیم (دمای 437 درجه سانتیگراد) در نمودار فازی دوتایی آلمینیم-منیزیم نزدیک است و ناحیه اختلاط در فصل مشترک اتصال آلمینیم-رو، از ساختار انجاماد یوتکنیک $(\text{Mg}) + \text{Al}_{12}\text{Mg}_{17}$ تشکیل شده است [9]. چن و همکاران [12]، فیروزدر و کو [9] و چوی و همکاران [13] در اتصال غیر مشابه جاه آلمینیم و منیزیم شواهدی از حضور این ساختار انجامدی در فصل مشترک اتصالات خود، به صورت رگه‌های اشاره کرده اند. بررسی‌های درشت ساختار، ریزساختار و نتایج آنالیز تفکیک انرژی نشان می‌دهد در اتصالات آلمینیم-رو، حرارت حاصل از فرآیند بالاتر بوده که باعث

منیزیم-رو و آلمینیم رو نشان داده شده است. همانگونه که در شکل 5 مشخص است در اثر چرخش پین در فصل مشترک آلمینیم و منیزیم، لایه‌های آلمینیم و منیزیم با ساختار گردابی در یکدیگر مخلوط می‌شوند که در شکل‌های 5 (ب) و (ج)، این ساختار لایه ای نشان داده شده است. این ساختار لایه ای به علت اج رنگی لایه‌های آلمینیم (رنگ تیره) و منیزیم (رنگ روشن) و لایه بین آن‌ها (سفید رنگ) با یکدیگر مخلوط شده اند. مقایسه شکل 5 و شکل 6 نشان می‌دهد که فصل مشترک در اتصال آلمینیم-رو متفاوت با فصل مشترک منیزیم-رو است و به جای ساختار لایه‌ای و گردابی ساختار فصل مشترک به صورت انجامدی و یوتکنیکی است. همانگونه که در شکل 6 مشخص است ساختار فصل مشترک به صورت انجامدی و یوتکنیکی است.

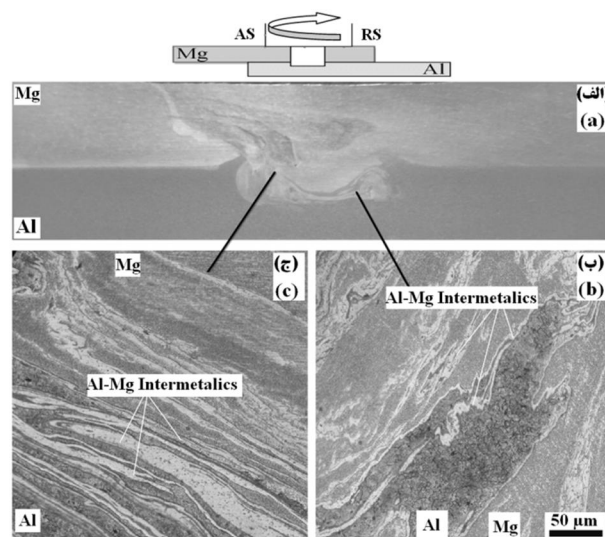


Figure 5 تصاویر میکروسکوپ نوری از نواحی مختلف فصل مشترک اتصال منیزیم-رو و قرگیری لبه اتصال در سمت پسر

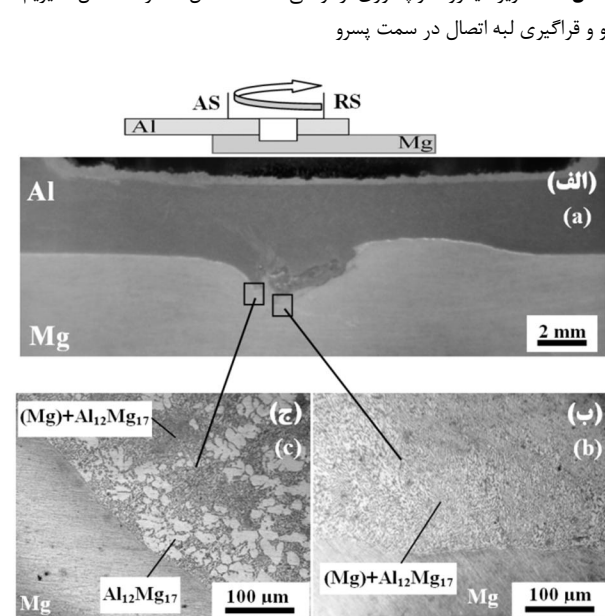


Figure 6 تصاویر میکروسکوپ نوری از نواحی مختلف فصل مشترک اتصال آلمینیم-رو و قرگیری لبه اتصال در سمت پسر

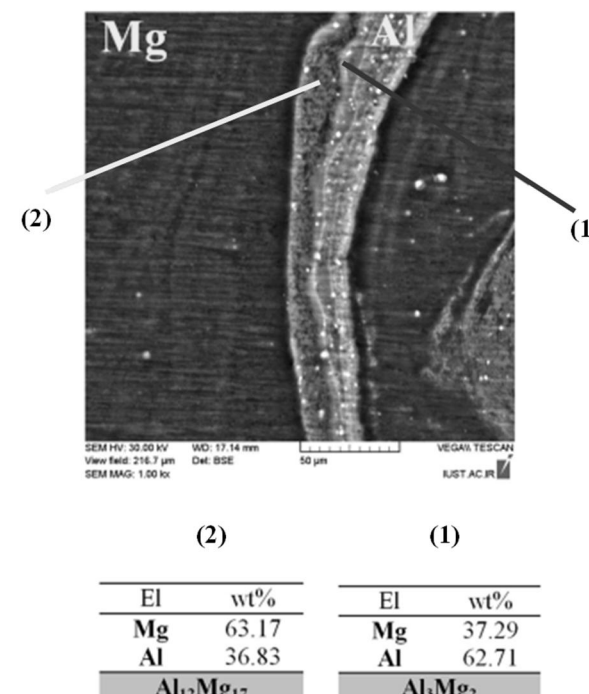
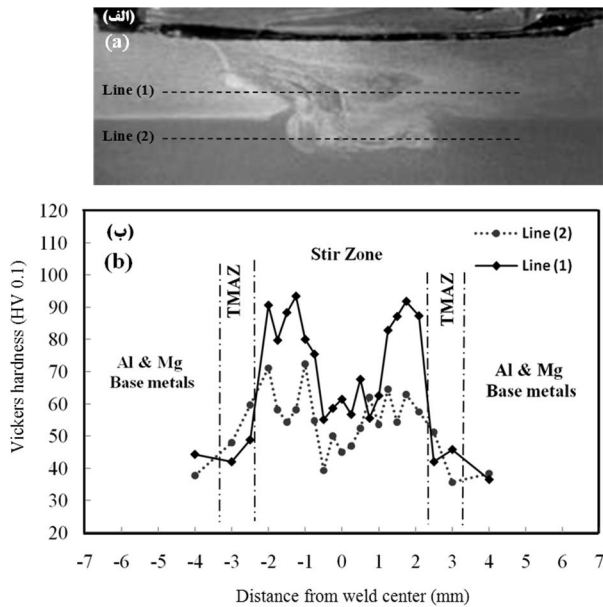


Fig. 7 EDS analysis results from diffusion layer in Magnesium-top joints

شکل 7 آنالیز EDS لایه نفوذی در اتصال منیزیم-رو



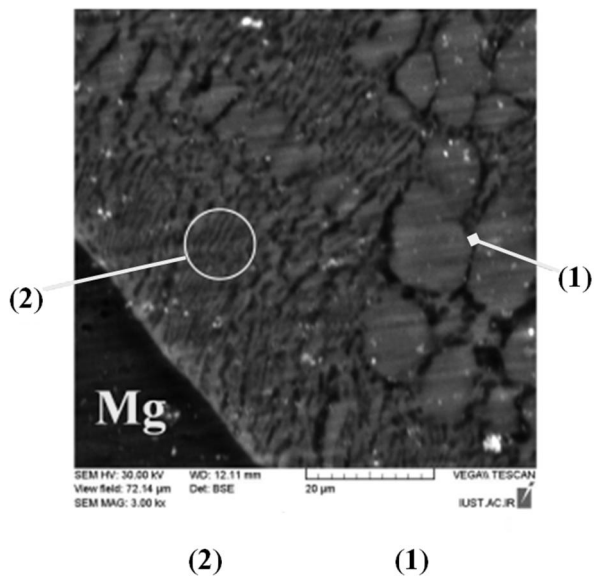
شکل ۹ (a) Macrostructure of the welded joint and the micro hardness tested lines of Mg-top retreading edge (b) micro hardness distribution on the (1) magnesium side and (2) aluminum side of the joints

شکل ۹ نمودارهای تغییرات سختی بر حسب فاصله از مرکز اتصال برای دو مسیر افقی در فاصله ۱ میلیمتری از پایین و بالای اتصال منیزیم-رو و حالت پسرو-له

باعث تبلور مجدد دینامیکی و تشکیل دانه‌های ریز در کنار تشکیل ترکیبات مکانیکی-حرارتی^۱ نیز می‌شود. ریزشدن دانه‌ها، باعث سختی بالاتر ناحیه تحت تاثیر مکانیکی-حرارتی^۱ نیز می‌شود که در شکل ۹ مشخص است [۱۴, ۱۵]. در شکل ۱۰ (ب) نمودارهای تغییرات سختی بر حسب فاصله از مرکز اتصال برای مسیر افقی در قسمت پایین اتصالات آلومینیم-رو و حالت پسرو-له (شکل ۱۰ (الف)) نشان داده شده است.

همانگونه که در شکل ۱۰ مشخص است، سختی در ناحیه اختلاط، در مقایسه با فلز پایه منیزیم، بسیار بیشتر است که در اتصالات غیر مشابه به علت تشکیل ترکیبات بین فلزی، این حالت ایجاد می‌گردد [۱۶]؛ به گونه‌ای که سختی فلز پایه منیزیم در محدوده ۲۵ تا ۳۰ ویکرز و سختی ناحیه اختلاط در محدوده ۱۷۵ تا ۲۰۰ ویکرز است. از طرف دیگر به علت تشکیل ناحیه انجامدادی ضخیم با ساختار یوتکتیک (برخلاف حالت لایه‌ای اتصالات منیزیم-رو)، تغییرات سختی در ناحیه اغتشاش (شکل ۱۰ (الف)), نوسان زیادی ندارد و مقادیر بالاتری نیز دارد و به ۲۰۰ ویکرز می‌رسد. این ساختار به علت حضور فاز بسیار سخت $\text{Al}_{12}\text{Mg}_{17}$ ، سختی بالایی دارد. حرارتی و همکاران [۲] نیز سختی بالای فصل مشترک اتصال ریخته‌گری مرکب آلومینیم و منیزیم را به حضور ساختار انجامدادی لایه $(\text{Mg}) + \text{Al}_{12}\text{Mg}_{17}$ مرتبط دانسته‌اند.

در شکل ۱۱ تصاویر میکروسکوپ نوری از فصل مشترک اتصال آلومینیوم رو در حالت پسرو-له، پس از ریز سختی سنجی نوسان داده شده است. همانطور که مشخص است در مسیر عمودی با عبور از ناحیه فصل مشترک با ساختار انجامدادی، قطر اثر نقاط سختی سنجی به میزان قابل توجهی کاهش یافته است که نشان از سختی بالا در ناحیه انجامدادی دارد. سختی بسیار بالای فصل مشترک با ساختار انجامدادی می‌تواند باعث تردی



شکل ۸ آنالیز EDS ناحیه فصل مشترک با ساختار انجامدادی در اتصال آلومینیم-رو

ایجاد مذاب در فرآیند جاه و نهایتاً تشکیل ساختار انجامدادی می‌گردد. طبق تحقیقات انجام شده توسط محققین [۹, ۱۲]، گزارش شده است که در حالت تماس ابزار با ورق آلومینیم در مقایسه با ورق منیزیم، حرارت بالاتری ایجاد می‌شود که ناشی از حرارت اصطکاکی بالاتر و حرارت بالاتر حاصل از انرژی کرنشی آزاد شده در آلومینیم است. این نتیجه، منطبق با نتایج تحقیق فیروزدر و کو [۹] است.

۳-۳- سختی سنجی

در شکل ۹ (ب)، نمودارهای تغییرات سختی بر حسب فاصله از مرکز اتصال، برای دو مسیر افقی در اتصال منیزیم-رو و حالت پسرو-له (شکل ۹ (الف)) نشان داده شده است. همانگونه که مشخص است، تغییرات ریزسختی در ناحیه اختلاط به صورت نوسانی است.

فصل مشترک در اتصالات منیزیم-رو، به علت حضور لایه‌های در هم تنیده آلومینیم و منیزیم، ریزسختی نوسانی دارد. سختی در ناحیه لایه لایه ای مقادیری بین ۳۰ تا ۹۳ ویکرز دارد که به ترتیب مربوط به سختی فلزات پایه و ساختار لایه‌ای در ناحیه اختلاط است که در فصل مشترک آن ترکیبات بین فلزی آلومینیم-منیزیم ایجاد شده است. همانطور که مشخص است فلز پایه کمترین سختی را دارد و ناحیه اتصال، که شامل لایه‌های در هم پیچیده است به علت حضور ترکیبات بین فلزی، سختی افزایش یافته است و تغییرات نوسانی سختی در مرکز جوش، به علت ساختار لایه لایه ای این منطقه است [۷].

از آنجایی که ماده در فرآیند جاه، تحت تغییر شکل بسیار زیاد و دماهای نسبتاً بالا قرار می‌گیرد، تغییرات ریزساختاری از قبیل تبلور مجدد قابل پیش بینی است. در منطقه اختلاط جوش، تغییر شکل زیاد با حرارت ایجاد شده،

1- Thermo-Mechanically Affected Zone=TMAZ

3-4- نتایج آزمون کشش-برش

نتایج آزمون کشش-برش نمونه‌های جوش داده شده با شرایط و پارامترهای فرآیند جوشکاری در شکل 12 آورده شده است.

نتایج بررسی استحکام اتصالات در آزمون کشش-برش نشان می‌دهد که اتصالات منیزیم-رو، استحکام شکست بالاتری نسبت به اتصالات آلومینیم-رو دارند. در اتصال منیزیم-رو در حالت لبه پسرو، نیروی شکست برابر 2280 نیوتون و در حالت آلومینیم-رو نیروی شکست برابر 1640 نیوتون بدست آمده است.

علت استحکام بالاتر اتصالات منیزیم-رو مربوط به فصل مشترک اتصالات آن‌ها در مقایسه با اتصالات آلومینیم-رو می‌توان دانست. در اتصالات منیزیم-رو به علت حرارت ورودی کمتر، ذوب و انجمادی در فصل مشترک ایجاد نمی‌شود و ساختار فصل مشترک به صورت لایه‌های در هم تنیده است که نفوذ اتمی بین آن‌ها اتفاق افتاده است و اتصال مکانیکی-متالورژیکی ایجاد نموده اند (شکل 5). در صورتی که در اتصالات آلومینیم-رو، بواسطه تشکیل ساختار انجمادی با ضخامت در ابعاد میلیمتر (شکل 6) و با سختی بسیار بالا (شکل 10)، فصل مشترک بسیار ترد و شکننده بوده و استحکام اتصال را کاهش می‌دهد.

از طرف دیگر دیده می‌شود در حالتی که لبه ورق بالایی در سمت پسرو است، استحکام اتصالات بالاتر است؛ به گونه‌ای که در حالت منیزیم-رو، وقتی لبه ورق بالایی (منیزیم) در سمت پسرو است نیروی برشی 2280 نیوتون و در حالتی که در سمت پیشوپ باشد نیروی برشی 1900 نیوتون بدست آمده است. کاهش ضخامت در ورق منیزیم در اثر نیروی فشاری حاصل از ابزار و بالاکشیده شدن سطح اتصال ورق آلومینیم و منیزیم و ایجاد عیب قلاچ شدگی در کنار تمرکز تنفس، دو عامل موثر بر شکست اتصال از ورق منیزیم بالایی و در سمت دور از لبه اتصال است (شکل 13 (الف) و (ب)). در شکل 14 مسیر توزیع تنفس بر روی اتصال منیز-رو نشان داده شده است. علت شکست از سمت دور از لبه، توزیع نیرو و تمرکز تنفس است. بررسی محل شکست اتصالات (شکل 13) نشان می‌دهد، اتصالات منیزیم-رو از فصل مشترک اتصال نمی‌شکنند بلکه از ورق منیزیم و از سمت دور از لبه می‌شکنند (شکل 13 (الف) و (ب)). در حالی که در اتصالات آلومینیم-رو، شکست از فصل مشترک اتفاق می‌افتد (شکل 13 (ج) و (د)) و در اتصالات آلومینیم-رو، فصل مشترک بسیار ضعیف و شکننده است.

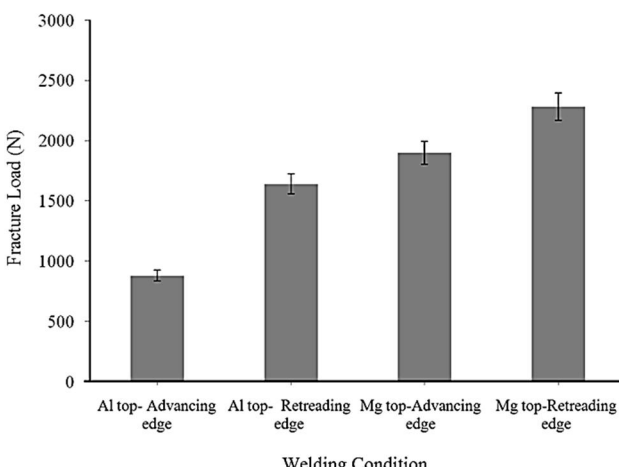


Fig. 12 Results of shear tensile tests of Al/Mg joints

شکل 12 نتایج آزمون کشش-برش اتصالات آلومینیم-منیزیم

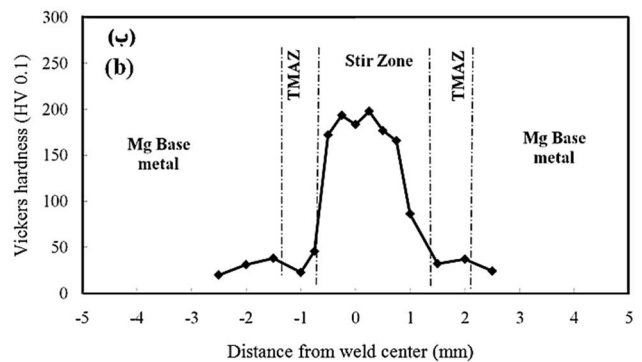
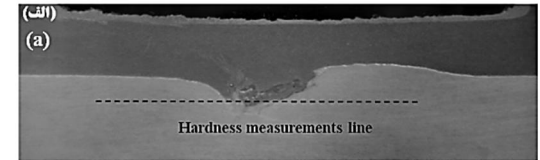


Fig. 10 (a) Macrostructure of the welded joint and the microhardness tested lines of Al-top retreading edge (b) microhardness distribution

شکل 10 نمودارهای تغییرات سختی بر حسب فاصله از مرکز اتصال برای مسیر افقی در فاصله 1 میلیمتری از پایین اتصال آلومینیم-رو و حالت پسرو-لبه

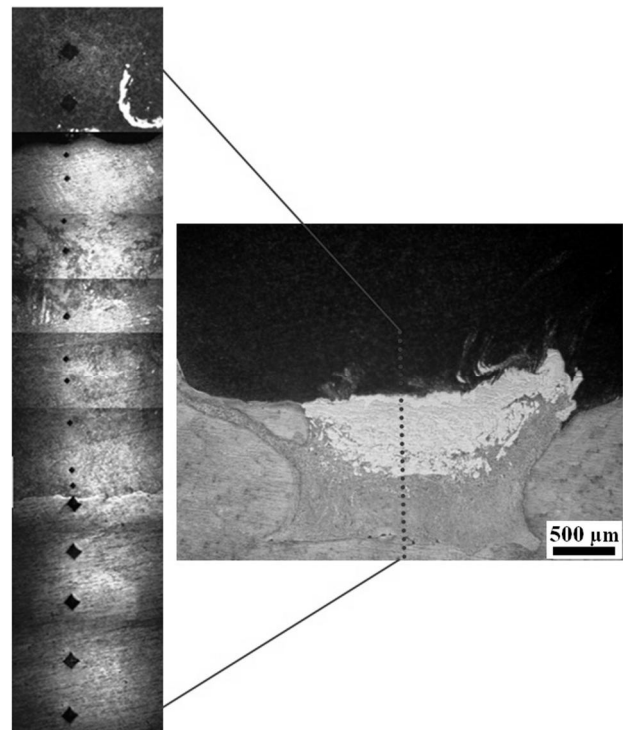


Fig. 11 Optical microscopy images of the intersection of Solidified structure and the vertical line of aluminum-top retreading side joints

شکل 11 تصاویر میکروسکوپ نوری از فصل مشترک با ساختار انجمادی و محل اثر میکروسختی سنجی در خط عمودی در فصل مشترک در اتصال آلومینیم-رو در حالت پسرو-لبه

این ناحیه گردد و در هنگام اعمال تنفس‌های کششی، به عنوان منطقه جوانه زنی و رشد ترک عمل نماید. در این تحقیق رفتار این فصل مشترک در اثر بارگذاری کششی مورد بررسی قرار گرفته است.

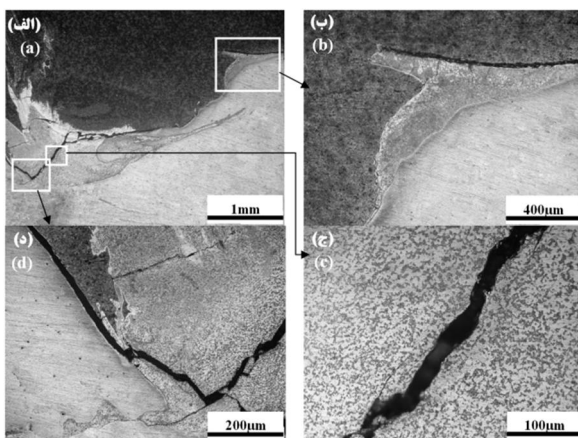


Fig. 15 Optical microscope images from the interface of aluminum top joint loaded to 500 Nm

شکل 15 تصاویر میکروسکوپ نوری از فصل مشترک نمونه آلومینیم رو و حالت پسرو-لبه بارگذاری شده تا 500 نیوتون

پس از اتمام جوشکاری در فصل مشترک ایجاد می‌گردد که شکست در آزمون کشش را تسريع می‌نماید [17].

6-3- بررسی سطح شکست اتصالات

بررسی‌های میکروسکوپ الکترونی روبشی (شکل 16) از سطح شکست منیزیم در اتصالات منیزیم-رو، نشان می‌دهد سطح شکست حاوی دیمپل‌ها و فرورفتگی‌هایی است که می‌تواند نشان دهنده شکست نرم در فلز منیزیم باشد. شکل 16 (الف) و (ب) ترکیب شیمیایی دو نقطه از سطح شکست را نشان می‌دهد. همانگونه که مشخص است آنالیز نقطه‌ای قسمت نزدیک دیمپل (الف)، ترکیب شیمیایی غنی از منیزیم را مشخص می‌کند و نقطه (ب) در قسمت ترک ایجاد شده، ترکیب شیمیایی حاوی 52.92 درصد منیزیم است که به ترکیب شیمیایی Al_3Mg_2 نزدیک است. این نشان می‌دهد در اتصالات منیزیم-رو، شکست از داخل می‌گردد و در امتداد لایه‌های ترکیبات بین فلزی ایجاد می‌گردد و این مسیر مناسبی برای رشد ترک و شکست است. این قسمت شکست ترد همان فصل مشترک لایه‌های کشیده شده از آلومینیم در ورق منیزیم است (شکل 5 (ج)).

در شکل 17 تصویر میکروسکوپ الکترونی روبشی از ناحیه ای از سطح شکست در اتصال آلومینیم-رو و پسرو-لبه نشان داده شده است که آنالیز نقطه‌ای تفکیک اثری سطح شکست ترد آن، نشان دهنده حضور فاز Al_3Mg_2 بر روی سطح شکست است و سطح شکست برخلاف اتصال منیزیم-رو نشانه‌هایی از حضور دیمپل‌ها ندارد که شکست کاملاً ترد را نشان می‌دهد.

در شکل 18 طرح پراش اشعه X از سطح مقطع اتصال منیزیم-رو و حالت پسرو-لبه آورده شده است. بررسی فازهای ایجاد شده در فصل مشترک اتصالات توسط طرح پراش اشعه X، نشان دهنده حضور ترکیب بین فلزی $\text{Al}_{12}\text{Mg}_{17}$ در ناحیه اختلاط است.

4- نتیجه گیری

در این تحقیق اثر موقعیت قرارگیری ورق‌های آلومینیم و منیزیم و همچنین جهت چرخش ابزار بر خواص اتصال لبه روی هم آلومینیم و منیزیم ایجاد شده به روش جوشکاری اصطکاکی همزنی مورد بررسی قرار گرفته است و نتایج زیر حاصل شده است:

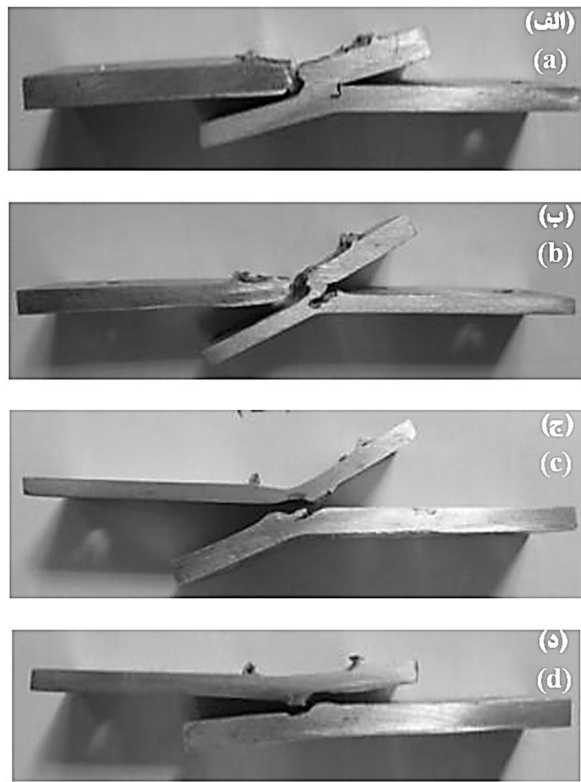


Fig. 13 Images of failed samples after shear tensile test in joints of (a) Mg top-Retreading edge (b) Mg top-Advancing edge (c) Al top-Retreading edge (d) Al top- Advancing edge
شکل 13 تصاویر نمونه‌های پس از آزمون کشش-برش (الف) منیزیم-رو- پسرو-لبه، (ب) منیزیم-رو-پیشرو-لبه، (ج) آلومینیم-رو- پیشرو-لبه

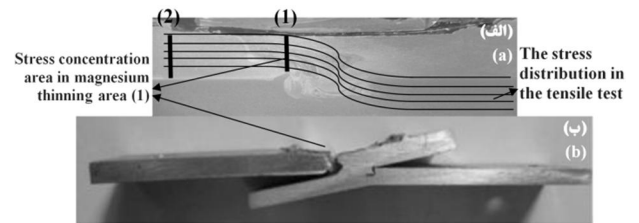


Fig. 14 The distribution stress in magnesium in Mg top-Retreading edge joint

شکل 14 مسیر توزیع تنش بر روی اتصال منیزیم رو در حالت پسرو-لبه

همانطور که مشخص است در ناحیه مشخص شده (1) در شکل 14 (الف) به دلیل کاهش سطح مقطع در مقایسه با محل (2)، تمرکز تنش در آزمون کشش ایجاد می‌شود که از همین ناحیه شکست در اتصالات منیزیم رو اتفاق می‌افتد.

5- نتایج بارگذاری تا 500 نیوتون برای بررسی مسیر رشد ترک

در شکل 15 تصاویر میکروسکوپ نوری از فصل مشترک نمونه آلومینیم رو و حالت پسرو-لبه و بارگذاری شده تا 500 نیوتون، نشان داده شده است. همانطور که مشخص است، در اثر بارگذاری کششی، ترک در فصل مشترک آلومینیم و لایه واکنشی ایجاد شده، رشد می‌نماید [17] و از طرف دیگر درون لایه ترکیب بین فلزی ترد نیز ترک‌های متعدد ایجاد شده است. ترک اولیه از محل ترکیبات بین فلزی جوانه زنی کرده و رشد می‌نماید. البته لازم به ذکر است که ترک‌های اولیه‌ای نیز در لایه‌های ترکیبات بین فلزی

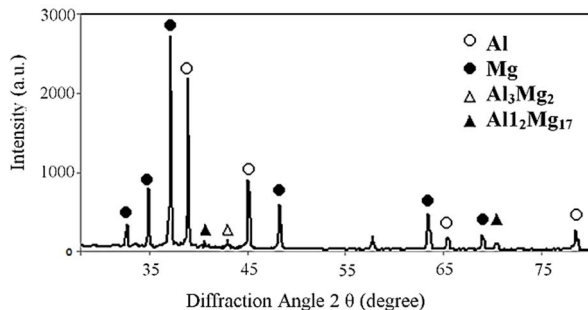


Fig. 18 XRD patterns of the in magnesium-top Retreading edge joint

شکل 18 طرح پراش اشعه X از سطح مقطع اتصال منیزیم رو و پسرو لبه

۱- قرارگیری منیزیم به عنوان ورق بالایی، باعث ایجاد جوش‌های با استحکام بالاتر می‌گردد به گونه‌ای که استحکام اتصال به صورت تقریبی دو برابر می‌گردد.

۲- در صورتی که لبه ورق بالایی در سمت پسرو باشد، استحکام اتصال افزایش می‌یابد و این افزایش در مورد حالت آلومینیم-رو شدیدتر است.

۳- اتصالات منیزیم-رو از درون منیزیم و در سمت دور از لبه اتصال می‌شکند در حالی که اتصالات آلومینیم-رو از فصل مشترک اتصالات و به صورت کاملاً ترد و در امتداد لایه ضخیم انجامدادی در فصل مشترک می‌شکند.

۴- در فصل مشترک اتصال منیزیم-رو، لایه‌های آلومینیم و منیزیم مخلوط شده در یکدیگر در حالت جامد نفوذ می‌کنند و از سمت آلومینیم به منیزیم به ترتیب دو لایه نفوذی Mg_2 و Al_3Mg_2 را تشکیل می‌دهند.

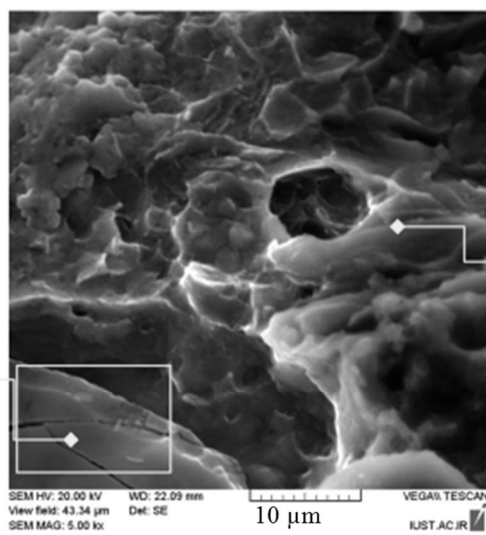
۵- ناحیه اختلاط در فصل مشترک اتصال آلومینیم-رو، از ساختار انجامدادی یوتکتیک مذاب یوتکتیک در فرآیند جوشکاری اصطکاکی آلومینیم رو است.

۵- تقدیر و تشریف

نویسنده‌گان از متصدیان کارگاه ماشین ابزار، آزمایشگاه متالوگرافی، بخش SEM دانشگاه علم و صنعت ایران، جهت کمک در انجام آزمایش‌های تجربی و آنالیز نمونه‌ها، تشرک و قدردانی می‌نمایند.

۶- مراجع

- [1] M. A. Mofid, A. Abdollah-zadeh , F. Malek Ghaini, The effect of water cooling during dissimilar friction stir welding of Al alloy to Mg alloy, *Materials and Design*, Vol 36 , pp. 161–167, 2012.
- [2] E. Hajjari, M. Divandari, SH. Razavi, SM. Emami, T. Homma, S. Kamado, Dissimilar joining of Al/Mg light metals by compound casting process, *Journal of materials science*, Vol. 46, No. 11, pp. 6491-6499, 2011.
- [3] E. Hajjar, M. Divandari, SH. Razavi, T. Homma, S. Kamado , Intermetallic compounds and antiphase domains in the Al / Mg casting compound, *Intermetallics*, pp 1-5, 2011.
- [4] E. Hajjari, M. Divandari, S. H. Razavi, T. Homma, S. Kamado, Microstructure characteristics and mechanical properties of Al 413/Mg joint in compound casting process, *Metallurgical and Materials Transactions A*, Vol. 43, pp. 4667-4677, 2012.
- [5] F. Liu, Z. Zhang, L. Liu, Microstructure evolution of Al/Mg butt joints welded by gas tungsten arc with Zn filler metal, *Materials Characterization*, Vol 69, pp. 84-89, 2012.
- [6] A. A. McLean, G.L.F. Powell, I.H. Brown, and V.M. Linton, "Friction stir welding of magnesium alloy AZ31B to aluminium alloy 5083", *Science and Technology of Welding and Joining*, Vol. 8, No. 6, pp. 462-464, 2003
- [7] P. Venkateswaran, A.P. Reynolds, Factors affecting the properties of Friction Stir Welds between aluminum and magnesium alloys,



(2)

(2)

(1)

El	Wt%
Mg	52.92
Al	47.08

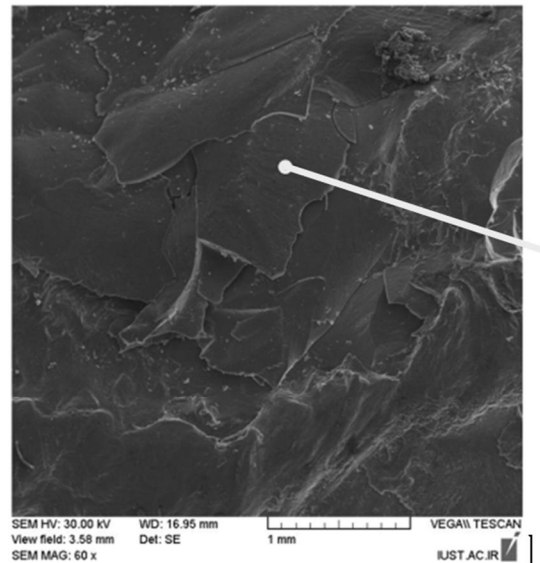
Al/Mg Intermetallics

El	Wt%
Mg	93.38
Al	4.53
O	2.09

Mg

Fig. 16 SEM image of the fracture surface of magnesium in magnesium-top at high magnification

شکل 16 تصویر میکروسکوپ الکترونی از سطح شکست منیزیم در اتصالات منیزیم-رو در بزرگنمایی بالا



(1)

El	Wt%
Mg	31.70
Al	68.30

Al_3Mg_2

Fig. 17 Scanning electron microscope image of the region of the fracture surface of the aluminum-top which failed from interface

شکل 17 تصویر میکروسکوپ الکترونی رویشی از ناحیه ای از سطح شکست در اتصال آلومینیم-رو و پسرو-لبه که از فصل مشترک شکسته است.

- interface during friction stir spot welding, *Intermetallics*, Vol. 19, No. 2, pp. 125-130, 2011
- [14] M. Elyasi, H. Aghajani Derazkola, M. Hoseinzadeh, Study on joint zone microstructure evolution and hardness in friction stir welding of AA1100 aluminum alloy to A441 AISI steel, *Modares mechanical engineering*, Vol. 14, No. 14, pp. 97-107, 2015 (in Persian)
- [15] A. Azizi, M. E. Aalami Aleagha, H. Moradi, Investigation of thermal, mechanical and microstructural properties of 7000 series Aluminum alloys welding using friction stir welding process, *Modares Mechanical Engineering*, Vol. 14, No. 14, pp. 148-154, 2015 (in Persian)
- [16] M. Elyasi, H. Aghajani Derazkola, M. Hosseinzadeh, Effects of friction stir welding parameters on mechanical quality of AA1100 aluminum alloy to A441 AISI steel joint, *Modares Mechanical Engineering*, Vol. 15, No. 4, pp. 379-390, 2015 (in Persian)
- [17] S. Hassanifard, A. Parghazeh, Fatigue lifetime and crack path prediction in four-point bending test of friction stir Cu-7075-T6 Aluminum alloy welded joints, *Modares Mechanical Engineering*, Vol. 14, No. 8, pp. 193-198, 2014 (in Persian)
- Materials Science and Engineering A*, Vol 545, pp. 26-37, 2012.
- [8] A. Kostka, R. S. Coelho, J. dos Santos, A. R. Pyzalla, Microstructure of friction stir welding of aluminum alloy to magnesium, *Scripta Materialia*, Vol. 60, pp. 953-956, 2009
- [9] V. Firouzdor, S. Kou, Al to Mg friction stir welding: effect of material position travel speed and rotation speed, *Metallurgical and Materials Transactions A*, Vol 4, pp. 2914-2935, 2010.
- [10] R. Zettler, A. A. M. da Silva, S. Rodrigues, A. Blanco, J. F. dos Santos, Dissimilar Al to Mg alloy friction stir welds, *Advanced Engineering Materials*, Vol. 8, No. 5, 415-421, 2006
- [11] J. ch. Yan, Zh. W. Xu, Zh. y. Li, L. Lei, Yang Shi-qin, Microstructure characteristics and performance of dissimilar welds between magnesium alloy and aluminum formed by friction stirring , *Scripta Mater*, Vol. 53, No. 5, pp. 585-589, 2005
- [12] Y. C. Chen, K. Nakata, Friction stir lap joining aluminum and magnesium alloys, *Scripta Materialia*, Vol. 58, No. 6, pp. 433-436, 2008
- [13] D. H. Choi, B. W. Ahn, C. Y. Lee, Y. M.Yeon, K. Song, S. B. Jung, Formation of intermetallic compounds in Al and Mg alloy